

基础研究

p38 MAPK 信号通路介导晚期氧化蛋白产物诱导的肾小管上皮细胞间充质转分化

黄丽丽^{1,2}, 祝小林³, 邓伟谦¹, 段娜², 梁秀洁², 王悦², 郭婷婷², 束双双², 向晓红², 姜婷婷², 汤珣², 章俊²¹南方医科大学第五附属医院肾内科, 广东 广州 510900; ²南方医科大学珠江医院肾内科, 广东 广州 510280;³中山市古镇人民医院肾内科, 广东 中山 528421

摘要:目的 探讨p38丝裂原活化蛋白激酶(p38 MAPK)信号途径是否介导晚期氧化蛋白产物(AOPP)诱导肾小管上皮细胞间充质转分化(EMT)。方法 用次氯酸氧化牛血清白蛋白(BSA)制备的AOPP-BSA刺激体外培养的人肾小管上皮细胞(HK-2细胞),用Western blotting检测细胞p38 MAPK和磷酸化p38 MAPK的表达;用p38 MAPK磷酸化抑制剂SB203580预处理细胞,并予AOPP-BSA刺激,用Western blotting和实时荧光定量PCR分别检测EMT标志性蛋白E-cadherin、vimentin和内质网应激标志性蛋白GRP78和mRNA表达;用内质网应激(ERS)阻断剂salubrinal预处理细胞,并予AOPP-BSA刺激,用Western blotting检测细胞p38 MAPK和磷酸化p38 MAPK的表达。结果 AOPP-BSA能使细胞p38 MAPK磷酸化;用SB203580抑制p38 MAPK磷酸化可显著抑制AOPP-BSA下调的E-cadherin和上调的vimentin和GRP78的表达;用salubrinal抑制ERS可有效地抑制AOPP-BSA诱导的p38 MAPK磷酸化。结论 p38 MAPK信号途径可能参与了AOPPs诱导肾小管上皮细胞发生EMT的过程,且p38 MAPK受ERS调控。

关键词:p38 MAPK;间充质转分化;晚期氧化蛋白产物;内质网应激;HK-2细胞

P38 MAPK signaling pathway mediates advanced oxidation protein product-induced epithelial-to-mesenchymal transition in tubular cells

HUANG Lili^{1,2}, ZHU Xiaolin³, DENG Weiqian¹, DUAN Na², LIANG Xiuji², WANG Yue², GUO Tingting², SHU Shuangshuang², XIANG Xiaohong², JIANG Tingting², TANG Xun², ZHANG Jun²¹Department of Nephrology, Fifth Affiliated Hospital, Southern Medical University, Guangzhou 510900, China; ²Department of Nephrology, Zhujiang Hospital of Southern Medical University, Guangzhou 510280, China; ³Department of Nephrology, Zhongshan Guzhen People's Hospital, Zhongshan 528421, China

Abstract: Objective To investigate whether the p38 mitogen-activated protein kinase (MAPK) signaling pathway mediates advanced oxidation protein products (AOPPs)-induced epithelial-to-mesenchymal transition (EMT) in tubular cells. **Methods** Human proximal tubular cells (HK-2 cells) exposed to AOPP-bovine serum albumin (BSA) were examined for expressions of p38 MAPK and phosphorylated p38 MAPK using Western blotting. Western blotting and quantitative RT-PCR were used to examine the protein and mRNA expressions of EMT markers E-cadherin and vimentin and endoplasmic reticulum stress marker glucose-regulated protein (GRP) 78 in cells treated with SB203580 (an inhibitor of the p38 MAPK signaling pathway) prior to AOPP exposure. The cells treated with AOPPs following pretreatment with salubrinal (an inhibitor of endoplasmic reticulum stress) were also examined for expressions of p38 MAPK and phosphorylated p38 MAPK. **Results** AOPP treatment induced the phosphorylation of p38 MAPK in HK-2 cells. AOPP-induced decrease in E-cadherin expression and overexpression of vimentin and GRP78 were partly inhibited by pretreatment of the cells with SB203580. Salubrinal partly suppressed AOPP-induced phosphorylation of p38 MAPK in the cells. **Conclusion** p38 MAPK signaling pathway, which is regulated by endoplasmic reticulum stress, might mediate AOPP-induced EMT in HK-2 cells.

Key words: p38 MAPK; epithelial-to-mesenchymal transition; advanced oxidation protein products; endoplasmic reticulum stress; HK-2 cells

收稿日期:2016-03-10

基金项目:国家自然科学基金(81202842);广州市科技计划项目(11C22120703);广东省科技计划项目(2013B021800149);广东省自然科学基金(S2011010004053,10151051501000030,S2011040003566);中山市科技计划项目(2014A1FC085)

Supported by National Natural Science Foundation of China (81202842).

作者简介:黄丽丽,主治医师,E-mail: 396405501@qq.com

通信作者:章俊,博士,主任医师,E-mail: gzh_zj@qq.com

慢性肾脏病(CKD)已成为危害人类健康的严重公共卫生问题,肾间质纤维化是各种CKD进展至终末期肾衰竭的共同通路。研究表明^[1-4],肾小管上皮细胞间充质转分化(EMT)在肾间质纤维化过程中起着至关重要的作用,但关于EMT的调控机制目前仍知之甚少。晚期氧化蛋白产物(advanced oxidation protein products, AOPPs)是新近发现的一类尿毒症毒素,主要成分为血

清白蛋白酪氨酸残基氧化后形成的蛋白交联产物,由 Witko Sarsat 等^[5]于 1996 年首次在慢性肾衰患者血浆中发现 AOPPs 水平在轻度的慢性肾功能不全患者循环中即已开始升高,且随着肾功能的恶化而进行性增高^[6-7]。我们以往研究表明, AOPPs 可通过激活内质网应激(ERS)诱导肾小管上皮细胞发生 EMT^[8-9],且 ERS 与氧化应激有关,但其具体机制目前尚未完全明确。丝裂原活化蛋白激酶(MAPK)是细胞内的一类丝氨酸/苏氨酸蛋白激酶,与氧化应激密切相关^[10-13]。p38 丝裂原活化蛋白激酶(p38 MAPK)是 MAPK 其中一员,近年大量研究表明^[14-19], p38 MAPK 信号途径在介导多种刺激因素所致 EMT 过程中发挥着重要作用,但该信号途径是否参与了 AOPPs 诱导的肾小管上皮细胞 EMT 的过程目前尚不清楚。本文主要探讨 p38 MAPK 信号途径是否介导了 AOPPs 诱导肾小管上皮细胞发生 EMT 的过程,及探讨该途径与 ERS 的关系,旨在进一步阐明肾间质纤维化的机制。

1 材料和方法

1.1 细胞株与实验试剂

HK-2 细胞株为人肾小管上皮细胞的永生系,购自美国 ATCC 细胞库;胎牛血清(FBS)、DMEM/F12 细胞培养液(美国 Gibco 公司);无内毒素牛血清白蛋白(BSA, 美国 Sigma);p38 MAPK 信号途径特异性阻断剂 SB203580(美国 Biomol);E-钙黏素(E-cadherin)和葡萄糖调节蛋白 78(GRP78)一抗(美国 Santa Cruz);波形蛋白(vimentin)、p38 MAPK 及磷酸化 p38 MAPK 一抗(美国 CST);ECL 检测试剂盒(美国 Millipore);Trizol 试剂(美国 Invitrogen);cDNA 第一链合成试剂盒和 SYBR Premix Ex Taq™ 荧光定量 PCR 试剂盒(日本 TaKaRa);E-cadherin、vimentin、GRP78 及内参 β -actin 引物由生工生物工程上海(股份)有限公司合成。

1.2 方法

1.2.1 体外制备 AOPP-BSA 将不含游离氨基酸、碳水化合物、脂类成分的胎牛血清白蛋白(BSA)与 200 mmol/L 次氯酸按 1:140 混合,避光室温反应 30 min 后,制备出不含糖基化终产物结构的 AOPP-BSA。制备的 AOPP-BSA 在无菌 PBS 中透析过滤 24 h 以除去游离的 HOCl,并过 Detoxi-Gel 柱去除内毒素。AOPPs 含量通过测定酸性条件下 340 nm 的光吸收,以氯胺 T 为标准取得。通过上述方法制备的 AOPP-BSA 的 AOPP 含量为 65.2 ± 2.12 nmol/mg 蛋白,未经修饰的 BSA 中 AOPP 的含量为 0.2 ± 0.04 nmol/mg 蛋白。制备的所有 AOPP-BSA 均经鲎实验法测定内毒素含量。内毒素含量低于 0.25 EU/mL。

1.2.2 HK-2 细胞的培养 将 HK-2 细胞培养与含 10% FBS 的 DMEM/F12 培养液中,胰酶消化后接种于 6 孔

板,换为无血清的 DMEM/F12 培养基中使细胞同步生长 24 h。

1.2.3 实验分组 为明确 AOPPs 对 p38 MAPK 信号通路的影响,将细胞分为 3 组:(1)空白对照组(Ctrl 组);(2)BSA 组:200 μ g/mL BSA 作用 24 h;(3)AOPPs 组:200 μ g/mL AOPPs 作用 24 h。

为明确 p38 MAPK 信号通路在 AOPPs 对 HK-2 细胞 EMT 及 ERS 过程中的作用,将细胞分为 3 组:(1)BSA 组:200 μ g/mL BSA 作用 24 h;(2)AOPPs 组:200 μ g/mL AOPPs 作用 24 h;(3)AOPPs+SB203580 组:10 μ mol/L SB203580 预处理 1 h 后,予 200 μ g/mL AOPPs 作用 24 h。

为明确 ERS 在 AOPPs 对 p38 MAPK 信号通路中的作用,将细胞分为 3 组:(1)BSA 组:200 μ g/mL BSA 作用 24 h;(2)AOPPs 组:200 μ g/mL AOPPs 作用 24 h;(3)AOPPs + salubrinal (ERS 阻断剂)组:50 μ mol/L salubrinal 预处理 1 h 后,给予 200 μ g/mL AOPPs 作用 24 h。

1.2.4 实时荧光定量 PCR 按实验分组不同处理 HK-2 细胞后,用 Trizol 法提取各样本细胞总 RNA,于紫外分光光度仪检测 RNA 含量及纯度。参照试剂盒说明书操作反转录合成 cDNA。采用 SYBR Premix Ex Taq™ 荧光定量 PCR 试剂盒检测,管家基因 β -actin 作为内参,引物序列见表 1。反应条件为 94 $^{\circ}$ C 预变性 2 min,94 $^{\circ}$ C 变性 15 s,60 $^{\circ}$ C 退火延伸 30 s,扩增 40 个循环。上述实验重复 3 次。采用 2- $\Delta\Delta$ Ct 法进行统计分析。

1.2.5 Western blotting 细胞培养及干预方法同上。AOPPs 作用 24 h 后用 RIPA 裂解细胞后提取细胞蛋白,采用 BCA 法测定蛋白浓度。行聚丙烯酰胺凝胶电泳后转膜至硝酸纤维素膜。用 5% BSA 封闭 2 h 后加入一抗,4 $^{\circ}$ C 孵育过夜。吸弃一抗, TBST 洗膜,15 min/次,共 3 次,然后用 TBST 稀释二抗,室温杂交 1 h。TBST 洗膜,15 min/次,共 3 次,然后室温下 ECL 显色。以 β -actin 作为内参。Image J 软件分析确定杂条带的相对吸光度值。

1.2.6 统计学方法 各组实验均重复 3 次以上。计量数据以均数 \pm 标准差表示,多组间比较采用单因素方差分析。方差齐时,组间两两比较采用 LSD 法;方差不齐时,组间两两比较采用 Dunnett's T_3 法。采用 SPSS 20.0 统计分析软件进行数据分析。 $P < 0.05$ 视为差异有统计学意义。

2 结果

2.1 AOPPs 对 p38 MAPK 信号通路的影响

根据我们前期研究^[8],我们将未经修饰的 BSA (200 μ g/mL)和 AOPPs(200 μ g/mL)分别刺激 HK-2 细胞 24 h。Western blotting 的结果显示,与空白对照组相比, AOPPs 可诱导 p38 MAPK 磷酸化(图 1, $P < 0.05$),但未经修饰的 BSA 对 p38 MAPK 无明显影响(图 1)。

表1 基因引物序列及扩增产物大小
Tab.1 Primer sequence for qRT-PCR

Gene name	Primer sequence	Product size (bp)
E-cadherin	Forward: 5'-TGATTCTGCTGCTCTTGCTG-3'	122
	Reverse: 5'-CTCTTCTCCGCCTCCTTCTT-3'	
Vimentin	Forward: 5'-AGAGAACTTTGCCGTTGAAGC-3'	100
	Reverse: 5'-ACGAAGGTGACGAGCCATT-3'	
GRP78	Forward: 5'-AAAGAAGACGGGCAAAGATG-3'	102
	Reverse: 5'-GCTTGATGCTGAGAAGACAGG-3'	
β-actin	Forward: 5'-TGGCACCCAGCACAATGAA-3'	186
	Reverse: 5'-CTAAGTCATAGTCCGCCTAGAAGCA-3'	

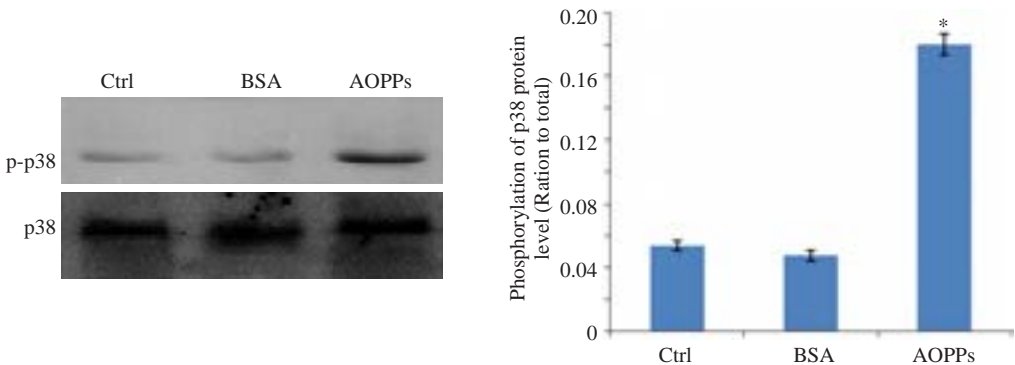


图1 AOPPs对p38磷酸化水平的影响
Fig.1 Effect of AOPPs on phosphorylation of p38 MAPK in HK-2 cells. *P<0.05 vs control group.

2.2 p38 MAPK 对 AOPPs 诱导肾小管上皮细胞发生 EMT 的影响

肾小管上皮细胞EMT是指肾小管上皮细胞在多种致病因素的作用下失去黏附性,并丢失标志性蛋白,如上皮型钙黏蛋白(E-cadherin),而表达间充质细胞的标志性蛋白,如波形纤维蛋白(vimentin),最终发生细胞表型转分化而成为肌成纤维细胞。本研究为了探讨p38 MAPK 信号途径是否介导了AOPPs诱导肾小管上皮细胞发生EMT的过程,予p38 MAPK 信号通路的特异性阻断剂SB203580预处理HK-2细胞,然后与AOPPs共同孵育HK-2细胞,检测EMT的标志性蛋白E-cadherin和 vimentin。实验结果显示:SB203580可明显抑制AOPPs诱导的 p38 MAPK 磷酸化(图2, $P<0.05$),并明显抑制 AOPPs 下调的 E-cadherin 的蛋白(图3A)和 mRNA(图3B)水平表达($P<0.05$),及明显抑制 AOPPs 上调的 vimentin 的蛋白(图3A)和 mRNA(图3C)水平表达($P<0.05$),即SB203580可抑制 AOPPs 激活的p38 MAPK 信号通路,及抑制 AOPPs 诱导的 HK-2 细胞 EMT 的发生。

2.3 p38 MAPK 信号途径与 ERS 的关系

由于各种原因引起的功能紊乱时出现错误折叠或

未折叠蛋白在腔内聚集和Ca²⁺平衡紊乱的状态,称为ERS。我们前期研究已证明,AOPPs可通过激活ERS诱导肾小管上皮细胞发生EMT,本研究为了探讨此过程中p38 MAPK 信号通路与ERS的关系,p38 MAPK 信号通路的特异性阻断剂SB203580预处理HK-2细胞,然后予AOPPs刺激HK-2细胞,检测ERS激活的标志性蛋白GRP78的表达水平。Western blotting 和荧光定量PCR的结果显示:SB203580可明显抑制AOPPs上调的GRP78的蛋白(图4A)和mRNA(图4B)水平表达($P<0.05$),即SB203580可抑制 AOPPs 激活的ERS。

为了进一步探讨p38 MAPK 信号通路与ERS的关系,我们将细胞分为3组:分别为:BSA组、AOPPs处理组、AOPPs+salubrinal(ERS的阻断剂)组。Western印迹法的结果显示:salubrinal可明显抑制AOPPs诱导的p38 MAPK 磷酸化(图5),提示 AOPPs 激活的 p38 MAPK 受ERS的调节。

3 讨论

肾脏纤维化是各种CKD进展至终末期肾衰竭的共同通路,然而肾脏纤维化的机制十分复杂,目前仍未完全清楚。然而目前关于肾小管上皮细胞间充质转分化

chinaXiv:201801.00669v1

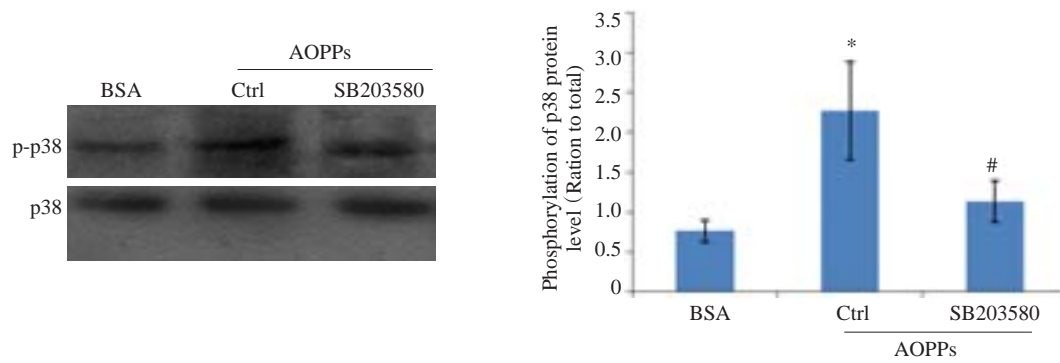


图2 SB203580对AOPPs诱导p38磷酸化的影响

Fig.2 Effect of SB203580 on AOPP-induced phosphorylation of p38 MAPK in HK-2 cells. * $P < 0.05$ vs BSA-treated cells, # $P < 0.05$ vs AOPP-treated cells.

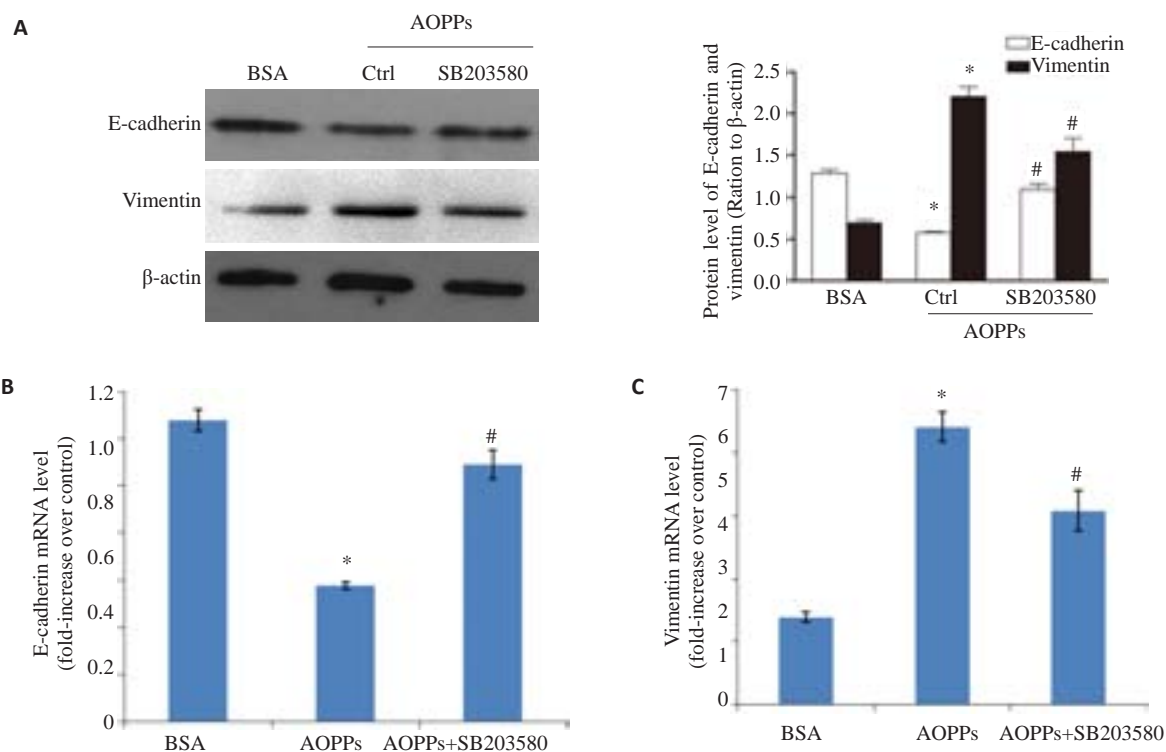


图3 p38 MAPK 信号通路在AOPPs所致HK-2细胞EMT过程中的影响

Fig.3 Effect of the p38 MAPK signaling pathway in on AOPPs-induced EMT in HK-2 cells. Western blotting (A) and qRT-PCR (B, C) results show the expression levels of E-cadherin and vimentin in HK-2 cells treated with BSA or AOPPs in the presence or absence of SB203580. * $P < 0.05$ vs BSA-treated cells, # $P < 0.05$ vs AOPP-treated cells.

对于肾间质转分化的贡献程度仍有争议。Kriz等^[20]研究者质疑肾小管上皮细胞转分化可致体内的肾脏纤维化;且近年的一项研究表明,在肾脏纤维化中,仅5%的成纤维细胞来源肾小管上皮细胞间充质转分化^[21]。但近年来大量的研究表明,肾小管上皮细胞发生EMT在肾间质纤维化过程中发挥着重要作用^[3-4, 22]。且有研究提示,肾小管上皮细胞发生EMT对肾脏纤维化作用程度不一可能是与实验条件有关,比如实验模型^[23]。综上,肾小管上皮细胞EMT可促进肾间质纤维化,探讨肾小管上皮细胞EMT发生可望为延缓肾间质纤维化的进展提供新的干预靶点,具有十分重要的意义。

AOPPs作为一类促炎症、促氧化的大分子生物毒素,近年来,大量证据表明其与肾脏疾病的发生发展密切相关^[6, 24-25]。我们前期研究已证明了AOPPs可通过激活ERS诱导肾小管上皮细胞发生EMT。本研究首次证明了p38 MAPK信号途径可能参与了AOPPs诱导肾小管上皮细胞发生EMT的过程。主要依据如下两点。首先,本实验结果显示,AOPPs可诱导p38 MAPK磷酸化,但未经修饰的BSA对p38 MAPK无明显影响,表明AOPPs的刺激作用源于AOPP修饰而非BSA本身的作用,提示AOPPs可激活p38 MAPK信号途径;其次,本实验结果显示p38 MAPK信号途径的特异性阻断剂

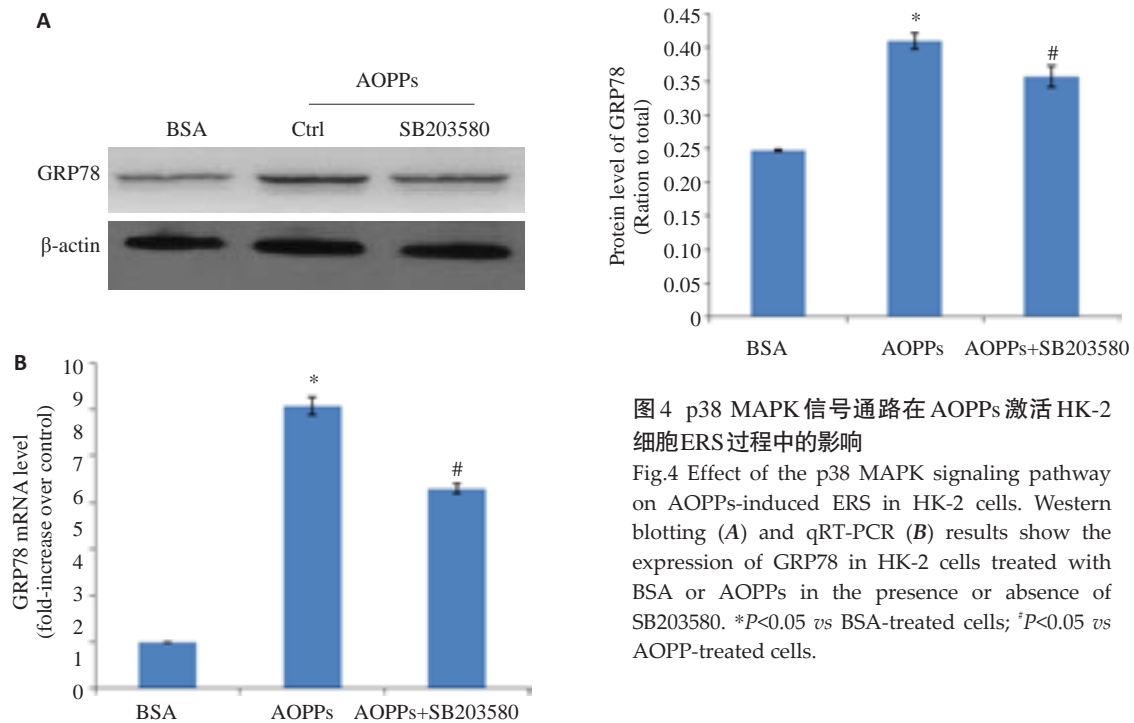


图4 p38 MAPK 信号通路在 AOPPs 激活 HK-2 细胞 ERS 过程中的影响

Fig.4 Effect of the p38 MAPK signaling pathway on AOPPs-induced ERS in HK-2 cells. Western blotting (A) and qRT-PCR (B) results show the expression of GRP78 in HK-2 cells treated with BSA or AOPPs in the presence or absence of SB203580. * $P < 0.05$ vs BSA-treated cells; # $P < 0.05$ vs AOPP-treated cells.

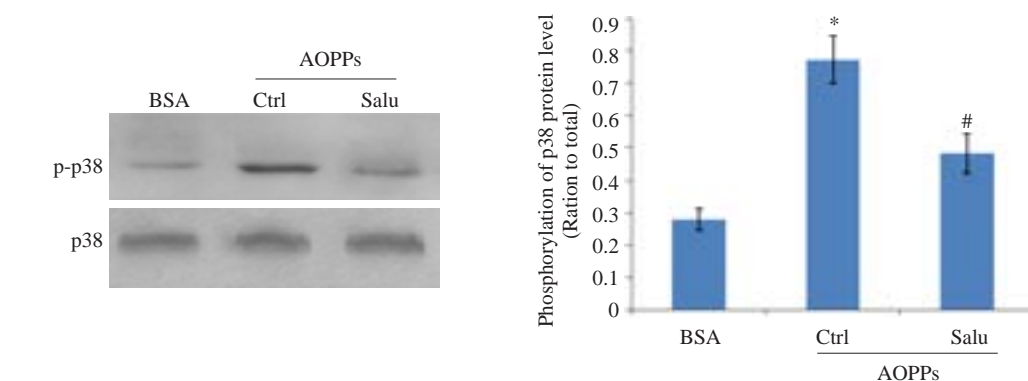


图5 ERS 对 AOPPs 激活 p38 MAPK 信号通路的影响

Fig.5 Effect of ERS on AOPPs-induced activation of p38 MAPK signaling pathway in HK-2 cells. * $P < 0.05$ vs BSA-treated cells, # $P < 0.05$ vs AOPP-treated cells.

SB203580 可抑制 AOPPs 诱导的 EMT 的发生,提示 p38 MAPK 信号途径参与了 AOPPs 诱导 HK-2 细胞的 EMT 的发生。以往研究表明,p38 MAPK 信号通路参与了多种刺激因素诱导的肾小管上皮细胞转分化的过程,如:高糖^[18]、晚期糖基化终产物^[17]等,但本研究首次提出了 p38 MAPK 信号通路介导了 AOPPs 诱导肾小管上皮细胞发生 EMT 的过程。

已知 p38 是 MAPK 的家族成员之一,而 MAPK 信号通路与氧化应激密切相关^[12-13],且氧化应激与 ERS 密切相关^[8, 26]。故本研究继续探讨在 AOPPs 诱导 HK-2 细胞发生 EMT 的过程中,p38 MAPK 信号途径与 ERS 的关系。本研究结果提示,在 AOPPs 诱导 HK-2 细胞发生 EMT 的过程中,p38 MAPK 信号途径与 ERS 密切相

关。主要依据如下两点。首先,本实验结果提示,p38 MAPK 信号途径的特异性阻断剂 SB203580 可明显抑制 AOPPs 激活的 ERS,提示 p38 MAPK 信号途径参与了 AOPPs 激活肾小管上皮细胞 ERS 的过程;其次,ERS 的阻断剂 salubrinal 可部分抑制 AOPPs 激活的 p38 MAPK 信号途径,提示 AOPPs 激活的 p38 MAPK 信号途径可能受 ERS 的调节。综上,在 AOPPs 诱导 HK-2 细胞发生 EMT 的过程中,p38 MAPK 信号途径与 ERS 密切相关,两者相互调节,但具体机制尚待进一步研究。

总之,本研究首次提出 p38 MAPK 信号途径参与了 AOPPs 诱导 HK-2 细胞的 EMT 的发生,且在此过程中,该信号途径与 ERS 的激活密切相关。本研究进一步阐明肾间质纤维化的机制。

参考文献:

- [1] Li Y, Sun Y, Liu F, et al. Norcantharidin inhibits renal interstitial fibrosis by blocking the tubular epithelial-mesenchymal transition [J]. PLoS One, 2013, 8(6): e66356.
- [2] Hay N, Sonenberg N. Upstream and downstream of mTOR [J]. Genes Dev, 2004, 18(16): 1926-45.
- [3] Liu Y. New insights into epithelial-mesenchymal transition in kidney fibrosis[J]. J Am Soc Nephrol, 2010, 21(2): 212-22.
- [4] Carew RM, Wang B, Kantharidis P. The role of EMT in renal fibrosis[J]. Cell Tissue Res, 2012, 347(1): 103-16.
- [5] Witko-Sarsat V, Friedlander M, Capeillère-Blandin C, et al. Advanced oxidation protein products as a novel marker of oxidative stress in uremia[J]. Kidney Int, 1996, 49(5): 1304-13.
- [6] Li HY, Hou FF, Zhang X, et al. Advanced oxidation protein products accelerate renal fibrosis in a remnant kidney model[J]. J Am Soc Nephrol, 2007, 18(2): 528-38.
- [7] Liu B, Hou X, Zhou Q, et al. Detection of advanced oxidation protein products in patients with chronic kidney disease by a novel monoclonal antibody[J]. Free Radic Res, 2011, 45(6): 662-71.
- [8] Tang X, Rong G, Bu Y, et al. Advanced oxidation protein products induce hypertrophy and epithelial-to-mesenchymal transition in human proximal tubular cells through induction of endoplasmic reticulum stress[J]. Cell Physiol Biochem, 2015, 35(2): 816-28.
- [9] Tang X, Liang X, Li M, et al. ATF6 pathway of unfolded protein response mediates advanced oxidation protein product-induced hypertrophy and epithelial-to-mesenchymal transition in HK-2 cells [J]. Mol Cell Biochem, 2015, 407(1/2): 197-207.
- [10] McClung JM, Judge AR, Powers SK, et al. p38 MAPK links oxidative stress to autophagy-related gene expression in cachectic muscle wasting [J]. Am J Physiol Cell Physiol, 2010, 298(3): C542-9.
- [11] Kita K, Sugita K, Sato C, et al. Extracellular release of annexin a2 is enhanced upon oxidative stress response via the p38 MAPK pathway after Low-Dose X-Ray irradiation[J]. Radiat Res, 2016, 186(1): 79-91.
- [12] Ahad A, Ahsan H, Mujeeb M, et al. Gallic acid ameliorates renal functions by inhibiting the activation of p38 MAPK in experimentally induced type 2 diabetic rats and cultured rat proximal tubular epithelial cells[J]. Chem Biol Interact, 2015, 240: 292-303.
- [13] Qiu Y, Tao L, Lei C, et al. Downregulating p22phox ameliorates inflammatory response in Angiotensin II-induced oxidative stress by regulating MAPK and NF-kappaB pathways in ARPE-19 cells [J]. Sci Rep, 2015, 5: 14362.
- [14] Li Z, Liu X, Wang B, et al. Pirfenidone suppresses MAPK signaling pathway to reverse epithelial-mesenchymal transition and renal fibrosis[J]. Nephrology(Carlton), 2016, 10: 12831.
- [15] Wang L, Bai YY, Yang Y, et al. Diabetes mellitus stimulates pancreatic cancer growth and epithelial-mesenchymal transition-mediated metastasis via a p38 MAPK pathway [J]. Oncotarget, 2015, 10: 18632.
- [16] Rodrigues-Diez R, Carvajal-Gonzalez G, Sanchez-Lopez E, et al. Pharmacological modulation of epithelial mesenchymal transition caused by angiotensin II. Role of ROCK and MAPK pathways[J]. Pharm Res, 2008, 25(10): 2447-61.
- [17] Bai YH, Wang JP, Yang M, et al. SiRNA-HMGA2 weakened AGEs-induced epithelial-to-mesenchymal transition in tubular epithelial cells[J]. Biochem Biophys Res Commun, 2015, 457(4): 730-5.
- [18] Lv ZM, Wang Q, Wan Q, et al. The role of the p38 MAPK signaling pathway in high glucose-induced epithelial-mesenchymal transition of cultured human renal tubular epithelial cells[J]. PLoS One, 2011, 6(7): e22806.
- [19] Zeng R, Han M, Luo Y, et al. Role of Sema4C in TGF-β1-induced mitogen-activated protein kinase activation and epithelial-mesenchymal transition in renal tubular epithelial cells[J]. Nephrol Dial Transplant, 2011, 26(4): 1149-56.
- [20] Kriz W, Kaissling B, Le Hir M. Epithelial-mesenchymal transition (EMT) in kidney fibrosis: fact or fantasy[J]? J Clin Invest, 2011, 121(2): 468-74.
- [21] Lebleu VS, Taduri G, O'connell J, et al. Origin and function of myofibroblasts in kidney fibrosis [J]. Nat Med, 2013, 19(8): 1047-53.
- [22] Kalluri R, Neilson EG. Epithelial-mesenchymal transition and its implications for fibrosis[J]. J Clin Invest, 2003, 112(12): 1776-84.
- [23] Inoue T, Umezawa A, Takenaka T, et al. The contribution of epithelial-mesenchymal transition to renal fibrosis differs among kidney disease models[J]. Kidney Int, 2015, 87(1): 233-8.
- [24] Zhou LL, Hou FF, Wang GB, et al. Accumulation of advanced oxidation protein products induces podocyte apoptosis and deletion through NADPH-dependent mechanisms [J]. Kidney Int, 2009, 76(11): 1148-60.
- [25] Iwao Y, Nakajou K, Nagai R, et al. CD36 is one of important receptors promoting renal tubular injury by advanced oxidation protein products [J]. Am J Physiol Renal Physiol, 2008, 295(6): F1871-80.
- [26] Santos CX, Tanaka LY, Wosniak J, et al. Mechanisms and implications of reactive Oxygen species Generation during the unfolded protein response: roles of endoplasmic reticulum oxidoreductases, mitochondrial electron transport, and NADPH oxidase[J]. Antioxid Redox Signal, 2009, 11(10): 2409-27.

(编辑:经 媛)